

3. ОСТ 41-01-276-87. Природная газоносность угольных месторождений. Методы лабораторного изучения. – Ростов-на-Дону: Ростапrint ВНИГРИуголь, 1988, – 28 с.
4. ГОСТ 23781-87. Газы горючие природные. Хроматографический метод определения компонентного состава. – М. : Издательство стандартов, 1988, – 10 с.
5. ГОСТ 31371.7-2008. Газ природный. Определение состава методом газовой хроматографии с оценкой неопределенности. Часть 7. Методика выполнения измерений молярной доли компонентов. – М. : Стандартинформ, 2009, – 21 с.
6. ФР.1.31.2005.01526. Методика выполнения измерений объемных долей CO, CO₂, H₂, CH₄, C₂H₂, C₂H₄, C₂H₆, C₃H₈, C₄H₁₀ в рудничном воздухе методом газовой хроматографии. – Новокузнецк, 2007, – 14 с.
7. ГОСТ 31371.3-2008. Газ природный. Определение состава методом газовой хроматографии с оценкой неопределенности. Часть 3. Определение водорода, гелия, кислорода, азота, диоксида углерода и углеводородов до C₈ с использованием двух насадочных колонок. – М.: Стандартинформ, 2009, – 11 с.

□ Авторы статьи:

Потокина
Роза Равильевна
ведущий специалист отдела экологии, хроматографии и нефтепродуктов ОАО «Западно-Сибирский испытательный центр»
E-mail: zsic@mail.ru

Журавлева
Наталья Викторовна
руководитель отдела экологии, хроматографии и нефтепродуктов ОАО «Западно-Сибирский испытательный центр», к.х.н., доцент каф.общей и аналитической химии СибГИУ, E-mail: zsic@mail.ru

Исмагилов
Зинфер Ришатович
директор Института углехимии и химического материаловедения СО РАН, член-корреспондент РАН. E-mail: ismagilovZR@iccms.sbras.ru

УДК 547.288.4

Н.Г.Малюта, Н.М. Ким, Н.Н.Чурилова, А.В. Суховерская

СПЕКТРОФОТОМЕТРИЧЕСКОЕ ИЗУЧЕНИЕ ВЗАИМОДЕЙСТВИЯ ОКСИМОВ 3,5-ДИЗАМЕЩЕННЫХ-4-ИЗОКСАЗОЛНОВ С КАТИОНАМИ S- И P-МЕТАЛЛОВ

Ранее нами было показано, что оксимы 3,5-дизамещенных-4-изоксазолонов с солями некоторых 3d-элементов выступают в роли лигандов [1-3].

Оксими, полученные на основе 3-фенил-5,5-диметил-4-изоксазолона и 3-фенил-5,5-пентаметилен-4-изоксазолона, имеют сходное строение:

Исходя из строения оксимов (I, II), имеющих 6 неподеленных пар, можно предположить, что эти оксимы могут проявлять роль лигандов не только с катионами 3d-элементов, но и с катионами IA, IIA и других групп.

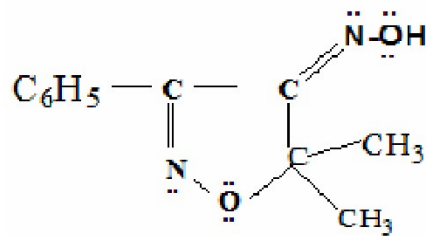
Нами методом спектрофотометрии была исследована способность оксимов I и II к взаимо-

действию с катионами: Li⁺, Na⁺, Rb⁺, Mg²⁺, Al³⁺, Sm³⁺, Cu²⁺ (спектрофотометр ПЭ-5400УФ).

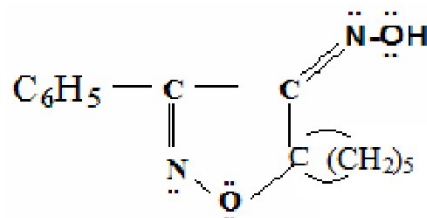
Катионы были выбраны по поляризующей способности (способности вызывать деформацию частицы, с которой взаимодействуют, что приводит к упрочнению образующейся связи), т.е. небольшого радиуса. Например, катионы Li⁺, Cu²⁺.

Оксими в свою очередь, может также вызывать поляризацию катиона с большим радиусом (Na⁺, Rb⁺). Из литературных источников известно образование комплексов с ионным и донорно-акцепторным видами связей [4-7].

В качестве растворителя использовали этанол. Вначале был снят спектр поглощения (в интервале 200-400 нм) раствора чистого оксима (I) в этаноле



оксим 3-фенил-5,5-диметил-4-изоксазолона
(I)



оксим 3-фенил-5,5-пентаметилен-4-изоксазолона
(II)

относительно раствора сравнения – этанол. На рис. 1 (кривая 1) представлен спектр поглощения электромагнитного излучения (ЭМИ) для концентрации оксима $C_{ок} = 0,01$ мг/мл. Оптическая

плотность при длине волны $\lambda=235$ нм оказалась больше 3, поэтому концентрацию оксима уменьшили до концентрации 0,005 мг/мл (рис. 1, кривая 2).

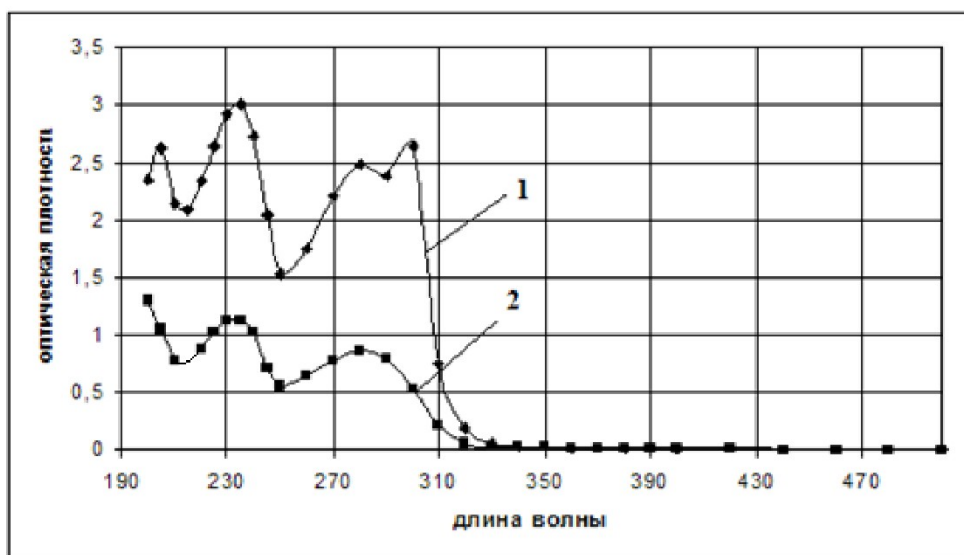


Рис. 1. Спектры поглощения ЭМИ для концентрации оксима (1): $C = 0,01$ мг/мл (кривая 1), $C = 0,005$ мг/мл (кривая 2)

Таблица 1. Оптические плотности в спектрах ЭМИ смеси спиртовых растворов солей и оксима (I)

Соль	λ_{\max} , нм					
	215	250	265	300	310	340
$\text{Li}^+, \text{Li}_2\text{CO}_3$	-	0,250	1,308	0,259	-	0,247
$\text{Na}^+, \text{CH}_3\text{COONa}$	-	-	-	-	0,951	-
$\text{Rb}^+, \text{RbNO}_3$	-	0,417	1,387	0,324	-	-
$\text{Cu}^{2+}, \text{Cu}(\text{CH}_3\text{COO})_2$	0,183	0,649	-	0,310	-	-
$\text{Sm}^{3+}, \text{Sm}(\text{CH}_3\text{COO})_3$	-	0,229	-	0,140	-	-
$\text{Rb}^+, \text{RbCH}_3\text{COO}$	-	-	-	-	0,160	-
$\text{Al}^{3+}, \text{Al}(\text{CH}_3\text{COO})_3$	-	-	-	-	0,117	-

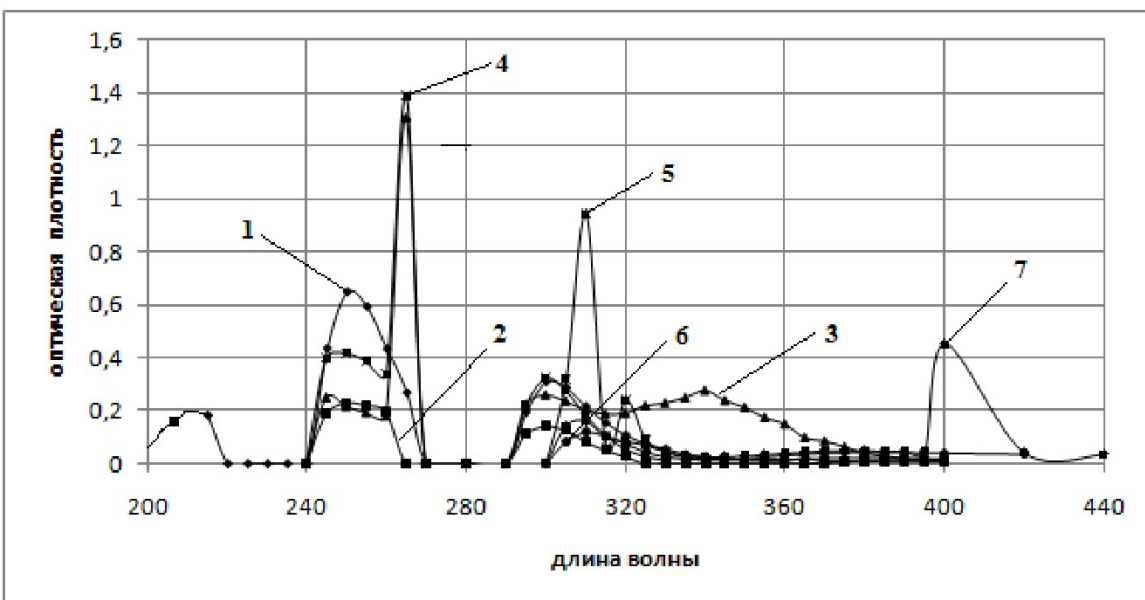
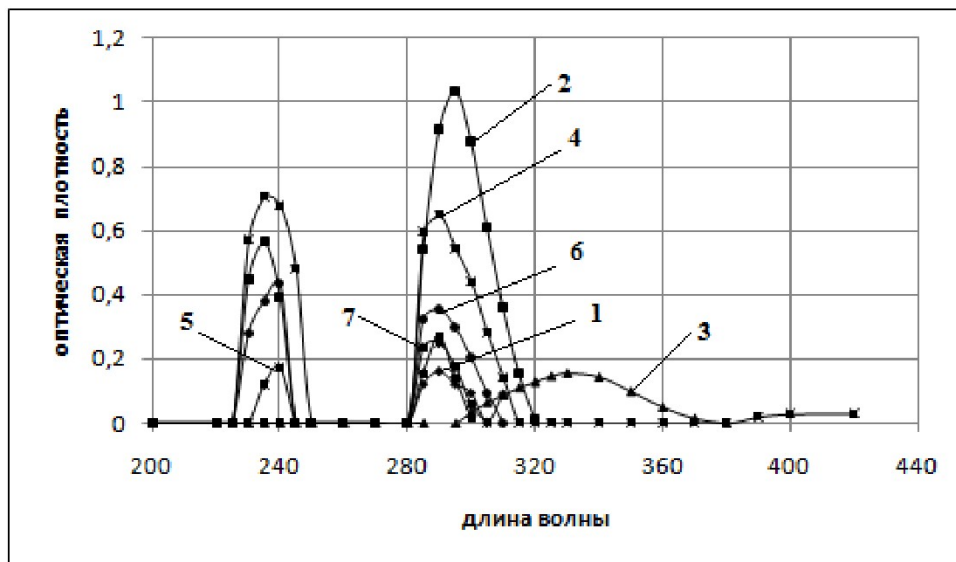


Рис. 2. Спектры поглощения ЭМИ растворов солей: 1- $\text{Cu} (\text{CH}_3\text{COO})_2$; 2- $\text{Sm}(\text{CH}_3\text{COO})_3$; 3- Li_2CO_3 ; 4- RbNO_3 ; 5- CH_3COONa ; 6 - RbCH_3COO ; 7- $\text{Al}(\text{CH}_3\text{COO})_3$

Таблица 2 . Оптические плотности в спектрах ЭМИ смеси спиртовых растворов солей и оксима (II)

Соль	λ_{\max} , нм				
	235	240	290	295	300
Li^+ , LiCH_3COO	-	-	0,160	-	-
Rb^+ , RbCH_3COO	0,546	-	-	1,035	-
Na^+ , NaCH_3COO	-	-	-	-	0,156
Sm^{3+} , $\text{Sm}(\text{CH}_3\text{COO})_3$	0,705	-	0,649	-	-
Mg^{2+} , $\text{Mg}(\text{CH}_3\text{COO})_2$	-	0,196	0,256	-	-
Al^{3+} , $\text{Al}(\text{CH}_3\text{COO})_3$	-	0,435	0,352	-	-
Cu^{2+} , $\text{Cu}(\text{CH}_3\text{COO})_2$	-	-	0,240	-	-

Рис. 3. Спектры поглощения ЭМИ растворов солей: 1- LiCH_3COO ; 2- RbCH_3COO ; 3- NaCH_3COO ; 4- $\text{Sm}(\text{CH}_3\text{COO})_3$; 5- $\text{Mg}(\text{CH}_3\text{COO})_2$; 6- $\text{Al}(\text{CH}_3\text{COO})_3$; 7- $\text{Cu}(\text{CH}_3\text{COO})_2$

На рисунке видно, что в спектре поглощения при $\lambda = 200$ нм присутствует плечо (часть максимума) и две полосы поглощения с $\lambda_{\max} = 235$ нм и $\lambda_{\max} = 280$ нм.

Далее изучали взаимодействие оксими с солями металлов: Li_2CO_3 , LiCH_3COO , NaCH_3COO , RbNO_3 , RbCH_3COO , $\text{Mg}(\text{CH}_3\text{COO})_2$, $\text{Cu}(\text{CH}_3\text{COO})_2$, $\text{Sm}(\text{CH}_3\text{COO})_3$, $\text{Al}(\text{CH}_3\text{COO})_3$.

В спектрах поглощения (ЭМИ) спиртовых растворов солей, снятых относительно спиртового раствора сравнения оксими с концентрацией 0,1 мг/мл, полосы поглощения в исследуемом интервале 200-400 нм отсутствуют.

Далее снимали спектры спиртовых растворов с концентрацией 0,05 мг/мл солей и с концентрацией 0,1 мг/мл оксими относительно раствора сравнения оксими в этаноле с концентрацией 0,1 мг/мл, для исключения полос поглощения оксими.

Спектры поглощения ЭМИ смеси спиртовых растворов солей и оксими 3-фенил-5,5-диметил-4-изоксазолона представлены на рис. 2 и в табл. 1.

В табл.1, 2 приведены оптические плотности в спектрах поглощения при длинах волн в максимуме полос поглощения. Из приведенных данных (табл.1) видно, что у ионов металлов изученных

солей наблюдаются две основные полосы поглощения ЭМИ при $\lambda_{\max} = 250$ нм и $\lambda_{\max} = 300$ нм, кроме иона Na^+ , Al^{3+} (особый спектр).

Спектры поглощения смесей катионов щелочных металлов Li^+ , Rb^+ с оксими (I) имеют одну и ту же полосу поглощения при $\lambda_{\max} = 265$ нм с высокими значениями оптической плотности (табл.1). Полоса поглощения соли натрия в смеси с оксими смешена в сторону более длинных волн ($\lambda_{\max} = 340$ нм).

У ионов Li^+ , Rb^+ , Cu^{2+} , Sm^{3+} есть две одинаковые связи оксими (I) с ионами металлов ($\lambda = 250$ и 300 нм).

У ионов щелочных металлов Li^+ и Rb^+ с оксими (I), в отличие от Na^+ , также образуется одинаковая по природе связь ($\lambda = 265$ нм).

Соли RbNO_3 и Li_2CO_3 с оксими (I) в данных условиях взаимодействуют лучше, чем соли RbCH_3COO и (табл. 1, рис. 2) и LiCH_3COO . Соли $\text{Mg}(\text{CH}_3\text{COO})_2$ и MgCl_2 практически не взаимодействуют с оксими (I).

Спектры поглощения ЭМИ смеси спиртовых растворов солей и оксими 3-фенил-5,5-пентаметилен-4-изоксазолона представлены на рис. 3 и в табл. 2.

Из приведенных данных (табл. 2) видно, что у

ионов металлов изученных солей наблюдаются две основные полосы поглощения ЭМИ, кроме ионов Li^+ , Na^+ , Cu^{2+} (наблюдается одна основная полоса поглощения ЭМИ).

Оксимы взаимодействуют как с катионами, обладающими сильным поляризующим действием (Li^+ , Al^{3+} , Cu^{2+}), так и с катионами большой поляризуемости (большой радиус катионов Na^+ , Rb^+).

Исходя из полученных значений оптической плотности при $\lambda = 250$ нм, можно заключить, что взаимодействие оксимов с ионами металлов с ростом их радиуса также увеличивается.

Оксимы I и II взаимодействуют как с катионами d-металлов, так и с катионами s- и p- металлов.

СПИСОК ЛИТЕРАТУРЫ

1. Суховерская А.В. Спектрофотометрическое исследование способности оксима 3-фенил-5,5-пентаметилен-4-изоксазолона к комплексообразованию / А.В. Суховерская, Н.М. Ким , Н.Г. Малюта // Ползуновский вестник. – 2008. – № 3. – С. 14-16.
2. Суховерская А.В. Получение и исследование комплексных соединений никеля(II) и кобальта(II) с оксимом 3-фенил-5,5-пентаметилен-4-изоксазолона / Т.Г. Черкасова, А.В. Суховерская, Н.Н. Чурилова, Н.Г. Малюта // Изв. вузов. Химия и хим. технология. – 2005. – Т.48. – № 12. – С. 43-44.
3. Суховерская А.В. Спектрофотометрическое исследование способности оксима 3-фенил-5,5-пентаметилен-4-изоксазолона к комплексообразованию / А.В. Суховерская, Н.М. Ким , Н.Г. Малюта // Ползуновский вестник. – 2008. – № 3. – С. 14-16.
4. Devenci P. Synthesis and characterization of new (E,E)-dioximes and their divalent metal complexes / P. Devenci, E. Özcan, B. Taner // Коорд. химия. – 2007. – Т. 33. – № 12. – С.938-942.
5. Коган, В.А. Комплексы меди(II) с гетероциклическими оксимсодержащими лигандами / В.А. Коган, А.С. Бурлов, Л.Д. Попов, В.В. Луков, Ю.В. Кощенко, Е.Б. Цупак, Г.П. Барган, Г.Г. Чигаренко, В.С. Болотников // Координ. химия. – 1987. – Т. 13. – № 7. – С. 879-885.
6. Страшнова С.Б. Синтез и изучение комплексообразования три- и тетранитрофлуоренон-9-оксимов с 3d-металлами. Кристаллическая и молекулярная структура сольвата (1:1) 2,4,5,7-тетранитрофлуоренон-9-оксими с ацетонитрилом / С.Б. Страшнова, О.В. Авраменко, А.В. Чураков, В.С. Сергиенко, О.В. Ковальчукова, Б.Е. Зайцев // Журн. неорган. химии. – 2008. – Т. 53. – №10. – С. 1697-1701.
7. Dong W.-K. Structural characterization of two copper(II) complexes with oxime-type ligands / W.-K. Domg, Sh.-Sh. Gong, Y.-X. Sun, J.-F. Tong, J. Yao // Журн. структурн. химии. - 2011. – Т. 52. – №5. – С.1043-1049.

□Авторы статьи:

Малюта Надежда Григорьевна к.х.н., доцент каф. технологии основного органического синтеза КузГТУ. Тел.: 8-905-964-36-58	Ким Нина Михайловна к.х.н., доцент каф. технологии переработки пластических масс КузГТУ. Тел.: 8-913-297-31-98	Чурилова Нина Николаевна к.х.н., доцент каф. химии и технологии неорганических веществ КузГТУ. Тел.: 8-905-913-50-94	Суховерская Алена Владимировна -к.х.н., ассистент каф.общей и биоорганической химии КемГМА e-mail: cav-79@yandex.ru
--	---	---	---

УДК 678.046.39

Т. Н. Теряева, О. В. Костенко, З. Р. Исмагилов, Н.В. Шикина,
 Н.А. Рудина, В.А. Антипова

ФИЗИКО-ХИМИЧЕСКИЕ СВОЙСТВА АЛЮМОСИЛИКАТНЫХ ПОЛЫХ МИКРОСФЕР

Алюмосиликатные полые микросферы (далее — зольные микросферы) образуются при высокотемпературном факельном сжигании каменных углей и представляют собой полые, почти идеальной формы силикатные шарики. Удачное сочетание экономических показателей с эксплуатационными свойствами - наличие ресурсов (зольные отходы тепловых электростанций), невысокая стоимость, низкая плотность, высокая прочность и

химическая стойкость - позволяют применять зольные микросферы в качестве наполнителей композиционных материалов, таких как облегченные бетоны, тампонажные цементы, сухие строительные смеси, огнеупорные материалы, полимерные композиции. [1-5]. Состав и свойства зольных микросфер определяются видом угля, поэтому необходимо изучение показателей в каждом конкретном случае [6, 7].